

# Multiestacionariedad en sistemas biológicos MESSI

Mercedes Pérez Millán - Alicia Dickenstein

Dto. de Matemática–FCEyN–Universidad de Buenos Aires



DEPARTAMENTO DE MATEMÁTICA  
Facultad de Ciencias Exactas y Naturales • UBA

UMA 2016

Bahía Blanca, 22 de Septiembre de 2016

# Table of contents

Redes de reacciones químicas

Sistemas MESSI

Ejemplos

Definición

Hacia los binomios

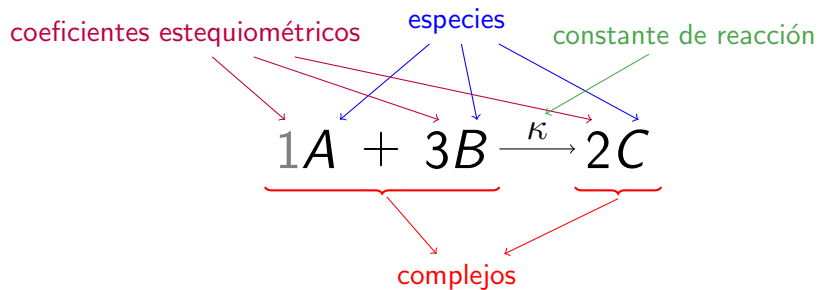
Sistemas MESSI tóricos

Monoestacionariedad

Multiestacionariedad

Sistemas MESSI s-tóricos

# Redes de reacciones químicas



# Redes de reacciones químicas



Concentraciones de las especies:

$$[A] \leftrightarrow x_1, \quad [B] \leftrightarrow x_2, \quad [C] \leftrightarrow x_3.$$

# Redes de reacciones químicas



Concentraciones de las especies:

$$[A] \leftrightarrow x_1, \quad [B] \leftrightarrow x_2, \quad [C] \leftrightarrow x_3.$$

$$\dot{x}_1 = -\kappa x_1 x_2^3,$$

$$\dot{x}_2 = -3\kappa x_1 x_2^3,$$

$$\dot{x}_3 = 2\kappa x_1 x_2^3.$$

# Redes de reacciones químicas



Concentraciones de las especies:

Vector de reacción:

$$[A] \leftrightarrow x_1, \quad [B] \leftrightarrow x_2, \quad [C] \leftrightarrow x_3. \quad (-1, -3, 2).$$

$$\dot{x}_1 = -\kappa x_1 x_2^3,$$

$$\dot{x}_2 = -3\kappa x_1 x_2^3,$$

$$\dot{x}_3 = 2\kappa x_1 x_2^3.$$

$$\begin{pmatrix} \dot{x}_1 \\ \dot{x}_2 \\ \dot{x}_3 \end{pmatrix} = \kappa x_1 x_2^3 \begin{pmatrix} -1 \\ -3 \\ 2 \end{pmatrix}$$

# Redes de reacciones químicas



Concentraciones de las especies:

$$[A] \leftrightarrow x_1, \quad [B] \leftrightarrow x_2, \quad [C] \leftrightarrow x_3.$$

Vector de reacción:

$$(-1, -3, 2).$$

$$\dot{x}_1 = -\kappa x_1 x_2^3,$$

$$\dot{x}_2 = -3\kappa x_1 x_2^3,$$

$$\dot{x}_3 = 2\kappa x_1 x_2^3.$$

$$\begin{pmatrix} \dot{x}_1 \\ \dot{x}_2 \\ \dot{x}_3 \end{pmatrix} = \kappa x_1 x_2^3 \begin{pmatrix} -1 \\ -3 \\ 2 \end{pmatrix}$$

$$\mathcal{S} = \langle \text{vectores de reacción} \rangle$$

$$\mathbf{x}(t) = (x_1(t), x_2(t), x_3(t)) \in \mathcal{S} + \mathbf{x}(0)$$

# Redes de reacciones químicas



Concentraciones de las especies:

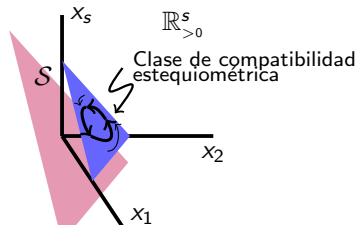
$$[A] \leftrightarrow x_1, \quad [B] \leftrightarrow x_2, \quad [C] \leftrightarrow x_3.$$

Vector de reacción:

$$(-1, -3, 2).$$

$$\begin{aligned}\dot{x}_1 &= -\kappa x_1 x_2^3, \\ \dot{x}_2 &= -3\kappa x_1 x_2^3, \\ \dot{x}_3 &= 2\kappa x_1 x_2^3.\end{aligned}$$

$$\begin{pmatrix} \dot{x}_1 \\ \dot{x}_2 \\ \dot{x}_3 \end{pmatrix} = \kappa x_1 x_2^3 \begin{pmatrix} -1 \\ -3 \\ 2 \end{pmatrix}$$



$$\mathcal{S} = \langle \text{vectores de reacción} \rangle$$

$$\mathbf{x}(t) = (x_1(t), x_2(t), x_3(t)) \in \mathcal{S} + \mathbf{x}(0)$$

# Estados estacionarios

Tenemos un sistema autónomo de EDO's:

$$\dot{\mathbf{x}} = f(\mathbf{x})$$

Los estados estacionarios del sistema son los  $\mathbf{x}$  (no negativos) tales que

$$f(\mathbf{x}) = 0$$

# Estados estacionarios

Tenemos un sistema autónomo de EDO's:

$$\dot{\mathbf{x}} = f(\mathbf{x})$$

Los estados estacionarios del sistema son los  $\mathbf{x}$  (no negativos) tales que

$$f(\mathbf{x}) = 0$$

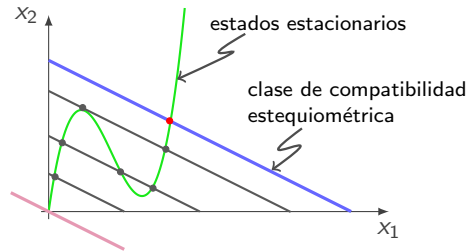
$$\dot{\mathbf{x}} = \mathbf{f}(\mathbf{x}) \leftarrow \text{polinomial}$$

Estados estacionarios:

Son la variedad (*real no negativa*) del ideal  $I$  generado por  $f_1, \dots, f_s$ .

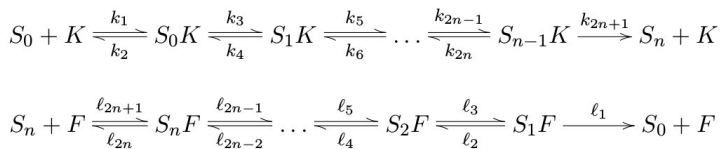
# Pregunta:

¿Cuántos estados estacionarios hay en cada clase de compatibilidad estequiométrica?



¿uno? ¿más de uno?

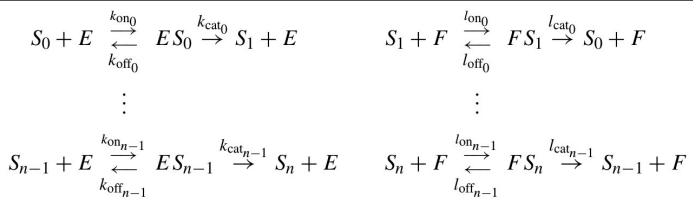
# Ejemplos de sistemas MESSI



C. CONRADI AND A. SHIU. *A global convergence result for processive multisite phosphorylation systems.*

Bull. Math. Biol., 77(1), (2015), pp. 126–155.

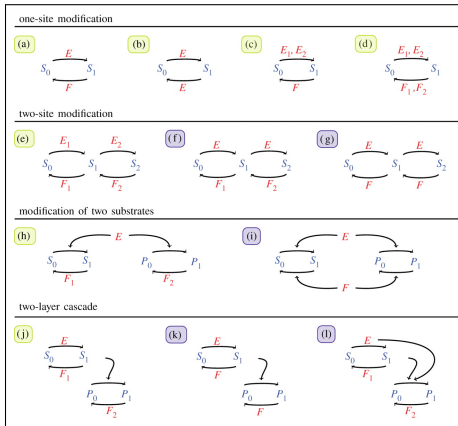
# Ejemplos de sistemas MESSI



P.M., A. DICKENSTEIN, A. SHIU AND C. CONRADI. *Chemical reaction systems with toric steady states.*

Bull. Math. Biol., 74(5), (2012), pp. 1027–1065.

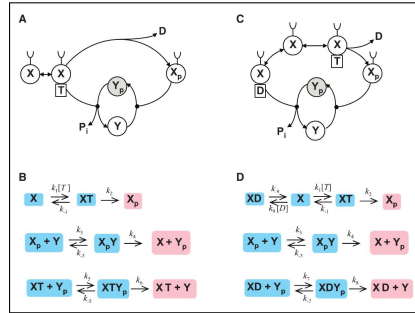
# Ejemplos de sistemas MESSI



E. FELIU AND C. WIUF. *Enzyme sharing as a cause of multistationarity in signaling systems.*

J. Roy. Soc. Interf., 9(71), (2012), pp. 1224–1232.

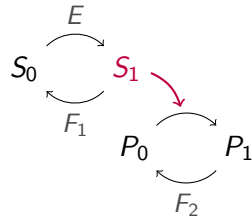
# Ejemplos de sistemas MESSI



G. SHINAR AND M. FEINBERG. *Structural sources of robustness in biochemical reaction networks.*

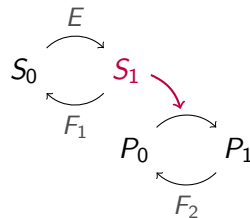
Science, 327(5971), (2010), pp. 1389–1391.

# El ejemplo que seguiremos usando



Cascadas de fosforilaciones.

# El ejemplo que seguiremos usando



Cascadas de fosforilaciones.

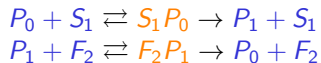
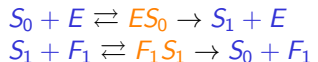
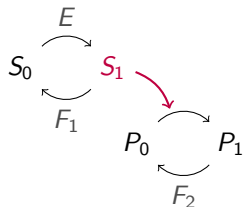
## ¿Por qué MESSI?

Por sus siglas en inglés: Biological systems with Modifications of type Enzyme-Substrate or Swap with Intermediates.

# Sistemas MESSI

- Especies:

$$\mathcal{S} = \underbrace{\mathcal{L}^{(0)} \sqcup \mathcal{L}^{(1)} \sqcup \mathcal{L}^{(2)} \sqcup \dots \sqcup \mathcal{L}^{(M)}}_{\text{no intermedios}}.$$



- Complejos: Intermedios y No intermedios.
- Reacciones permitidas...

- ▶  $X_i \rightarrow X_j$  entonces  $X_i, X_j \in \mathcal{S}^{(\alpha)}$  o  $X_i \rightarrow X_k$  o  $X_k \rightarrow X_i$ .
- ▶  $X_i + X_j \rightarrow X_k$  o  $X_k \rightarrow X_i + X_j$ .
- ▶  $X_i + X_j \rightarrow \dots \rightarrow X_\ell + X_m$  entonces, o bien  $X_i, X_\ell \in \mathcal{S}^{(\alpha)}$  y  $X_j, X_m \in \mathcal{S}^{(\beta)}$ , con  $\alpha \neq \beta$ , o “al revés”.

- ▶  $X_i \rightarrow X_j$  entonces  $X_i, X_j \in \mathcal{S}^{(\alpha)}$  o  $X_i \rightarrow X_k$  o  $X_k \rightarrow X_i$ .
- ▶  $X_i + X_j \rightarrow X_k$  o  $X_k \rightarrow X_i + X_j$ .
- ▶  $X_i + X_j \rightarrow \dots \rightarrow X_\ell + X_m$  entonces, o bien  $X_i, X_\ell \in \mathcal{S}^{(\alpha)}$  y  $X_j, X_m \in \mathcal{S}^{(\beta)}$ , con  $\alpha \neq \beta$ , o “al revés”.

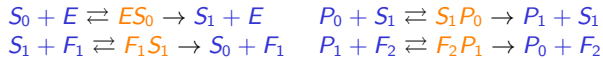
Primer resultado:

Teorema:

Todos los sistemas MESSI son conservativos.

# Eliminando intermedios

**Condición (C):** para cada complejo intermedio, existe un *único* complejo no intermedio que *reacciona via intermedios* hacia él.

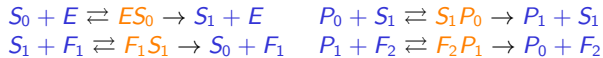


Proposición:

Bajo la condición (C), en estado estacionario, los intermedios en los sistemas MESSI satisfacen *ecuaciones binomiales* de la forma  $x_k - \mu_k x_{i_k} x_{j_k} = 0$ , donde  $\mu_k$  es una *constante* en  $\mathbb{Q}(\kappa)$ .

# Eliminando intermedios

**Condición (C):** para cada complejo intermedio, existe un *único* complejo no intermedio que *reacciona via intermedios* hacia él.



Proposición:

Bajo la condición (C), en estado estacionario, los intermedios en los sistemas MESSI satisfacen *ecuaciones binomiales* de la forma  $x_k - \mu_k x_{i_k} x_{j_k} = 0$ , donde  $\mu_k$  es una *constante* en  $\mathbb{Q}(\kappa)$ .

En nuestro ejemplo:

$$es_0 - \mu_1 s_0 \cdot e = 0, \quad f_1 s_1 - \mu_2 s_1 \cdot f_1 = 0,$$

$$s_1 p_0 - \mu_3 p_0 \cdot s_1 = 0, \quad f_2 p_1 - \mu_4 p_1 \cdot f_2 = 0.$$

## Definición:

Un *sistema MESSI* tórico es un sistema MESSI cuyos estados estacionarios *positivos* pueden ser descriptos por binomios.

En nuestro ejemplo, *todos* los estados estacionarios positivos se pueden describir por los siguientes binomios:

$$es_0 - \mu_1 s_0.e = 0, \quad f_1 s_1 - \mu_2 s_1.f_1 = 0,$$

$$s_1 p_0 - \mu_3 p_0.s_1 = 0, \quad f_2 p_1 - \mu_4 p_1.f_2 = 0,$$

$$s_0.e - \eta_1 s_1.f_1 = 0, \quad p_0.s_1 - \eta_2 p_1.f_2 = 0.$$

# ¿Por qué queremos binomios?

Notemos que:

$$\mathbf{x}^u - \eta \mathbf{x}^{u'} = 0 \iff \mathbf{x}^{u-u'} = \eta$$

- ▶  $\mathcal{T} := \langle \text{estos } u - u' \rangle$ ,
- ▶  $B :=$  una matriz cuyas columnas forman una base de  $\mathcal{T}$ .
- ▶  $M :=$  una matriz cuyas columnas forman una base de  $\mathcal{S}$ , el subespacio estequiométrico.

$$M^t = \begin{pmatrix} \text{blue square} & \text{blue rectangle} \end{pmatrix} \quad B^t = \begin{pmatrix} \text{blue square} & \text{blue rectangle} \end{pmatrix}$$

$$\Sigma := \{\text{signo}(\det(M_J) \det(B_J)) : M_J, B_J \text{ mismo "cuadrado"}\}$$

Decimos que  $\Sigma$  es *mixed* si  $\{-, +\} \subseteq \Sigma$ , y *unmixed* si no.

## Teorema:

Dado un sistema tórico MESSI tal que  $\text{rango}(M) = \text{rango}(B)$ , son equivalentes:

1. El sistema es monoestacionario.
2.  $\Sigma$  es *unmixed*.
3. Para todos los ortantes  $\mathcal{O} \in \{-1, 0, 1\}^s$ ,  $\mathcal{O} \neq \mathbf{0}$ , o bien  $\mathcal{S} \cap \mathcal{O} = \emptyset$  o bien  $\mathcal{T}^\perp \cap \mathcal{O} = \emptyset$ .

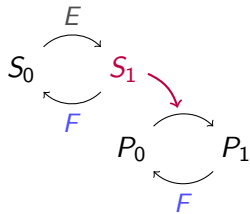
## Teorema:

Dado un sistema tórico MESSI tal que  $\text{rango}(M) = \text{rango}(B)$ , son equivalentes:

1. El sistema es monoestacionario.
2.  $\Sigma$  es *unmixed*.
3. Para todos los ortantes  $\mathcal{O} \in \{-1, 0, 1\}^s$ ,  $\mathcal{O} \neq \mathbf{0}$ , o bien  $\mathcal{S} \cap \mathcal{O} = \emptyset$  o bien  $\mathcal{T}^\perp \cap \mathcal{O} = \emptyset$ .

En nuestro ejemplo,  $\Sigma$  es *unmixed*. Por lo tanto, el sistema es monoestacionario.

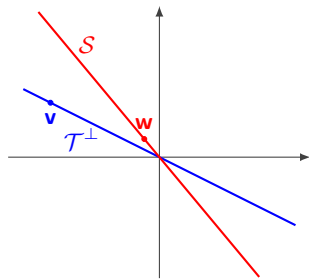
Sin embargo, si  $F_1 = F_2 \dots$



Tenemos que  $\Sigma = \{0, -, +\}$ , y por lo tanto el sistema es capaz de presentar multiestacionariedad.

# ¿Podemos encontrar dos estados estacionarios diferentes?

$$\mathbf{w} \in \mathcal{S}, \mathbf{v} \in \mathcal{T}^\perp, \text{signo}(\mathbf{w}) = \text{signo}(\mathbf{v})$$



$$(x_i^1)_{i=1, \dots, s} = \begin{cases} \frac{w_i}{e^{v_i}-1}, & \text{if } v_i \neq 0 \\ \bar{x}_i > 0, & \text{si no} \end{cases}$$
$$\mathbf{x}^2 = \text{diag}(e^{\mathbf{v}}) \mathbf{x}^1,$$
$$\mathbf{k} = \text{diag}(\phi(\mathbf{x}^1))^{-1} M \boldsymbol{\lambda},$$

(Notación y resultado en [P.M., Dickenstein, Shiu, Conradi (2011)])

# ¿Es posible encontrar el ortante?

Algoritmo:

- ▶ Encontrar los circuitos de  $\mathcal{S}$  y  $\mathcal{T}^\perp$ .
- ▶ Buscar los ortantes que respetan las “restricciones” de  $M$  que contienen un circuito de  $\mathcal{S}$ .
- ▶ Si el soporte del ortante coincide con la unión de los soportes de los circuitos de  $\mathcal{S}$  contenidos, verificar si hay un circuito de  $\mathcal{T}^\perp$  contenido en este ortante. (Si no, ignorarlo.)
- ▶ Guardar solo esos ortantes cuyo soporte también coincide con la unión de los soportes de los circuitos de  $\mathcal{T}^\perp$  contenidos.

# ¿Es posible predecir los binomios?

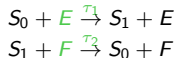
## Definición:

Un sistema MESSI *estructuralmente tórico* o *s-tórico* es un sistema MESSI cuyo digrafo  $G$  es un grafo *regulado* y el grafo  $G_2$  no tiene aristas múltiples orientadas y es débilmente reversible.

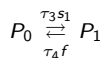
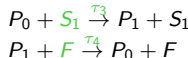
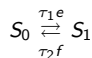
$G :$



$G_1 :$



$G_2 :$



▶ Binomios

## Teorema:

Los estados estacionarios positivos de los sistemas MESSI s-tóricos se pueden describir por binomios. Existen constantes  $\mu_k$  y  $\eta_{ij}$  en  $\mathbb{Q}(\kappa)$  tales que los binomios son de la siguiente forma:

$$u_k - \mu_k x^{\varphi(k)}, \text{ para cada intermedio } U_k (1 \leq k \leq p).$$

$$x^{\gamma_j} x_i - \eta_{ij} x^{\gamma_i} x_j, \text{ para cada } X_i, X_j \text{ en el mismo } \mathcal{S}^{(\alpha)}, \alpha \geq 1.$$

## Referencias:

- ▶ C. CONRADI, AND A. SHIU, *A global convergence result for processive multisite phosphorylation systems*, Bull. Math. Biol. 77(1), (2015).
- ▶ E. FELIU AND C. WIUF, *Enzyme-sharing as a cause of multi-stationarity in signalling systems*, J. R. Soc. Interface 7 9(71), (2012).
- ▶ E. FELIU AND C. WIUF, *Simplifying biochemical models with intermediate species*, J. R. Soc. Interface, (2013), 10:20130484.
- ▶ S. MÜLLER, E. FELIU, G. REGENSBURGER, C. CONRADI, A. SHIU AND A. DICKENSTEIN, *Sign conditions for injectivity of generalized polynomial maps with applications to chemical reaction networks and real algebraic geometry*, Found. Comp. Math. 16(1), (2016).
- ▶ M. P.M., A. DICKENSTEIN, A. SHIU AND C. CONRADI, *Chemical reaction systems with toric steady states*, Bull. Math. Biol. 74(5), (2012).
- ▶ G. SHINAR AND M. FEINBERG, *Structural sources of robustness in biochemical reaction networks*, Science 327(5971), (2010).
- ▶ M. THOMSON AND J. GUNAWARDENA, *The rational parametrisation theorem for multisite post-translational modification systems*, J. Theor. Biol. 261, (2009).

# Recordar:

## VI MACI 2017

VI Congreso de Matemática Aplicada, Computacional e Industrial  
2 al 5 de mayo en Comodoro Rivadavia, Chubut, Argentina.

Recordar:

## VI MACI 2017

VI Congreso de Matemática Aplicada, Computacional e Industrial  
2 al 5 de mayo en Comodoro Rivadavia, Chubut, Argentina.

¡Gracias!